

固溶体 MAX 相 $(\text{Ti}_{0.5}\text{V}_{0.5})_3\text{AlC}_2$ 的制备及其对 MgH_2 储氢性能的催化影响

张 欣^{1,2} 沈正阳² 简 旋² 姚建华¹ 高明霞² 潘洪革² 刘永锋^{*2}

(¹浙江工业大学激光先进制造研究院,浙江省高端激光制造装备协同创新中心,杭州 310014)

(²硅材料国家重点实验室,浙江省电池新材料及应用技术重点实验室,
浙江大学材料科学与工程学院,杭州 310027)

摘要: 通过无压烧结法制备了固溶体 MAX 相 $(\text{Ti}_{0.5}\text{V}_{0.5})_3\text{AlC}_2$, 研究了其添加对 MgH_2 储氢性能的影响。结果发现, 固溶体 MAX 相 $(\text{Ti}_{0.5}\text{V}_{0.5})_3\text{AlC}_2$ 中的 Ti 和 V 元素通过协同作用, 呈现出更高的催化活性。添加质量分数 10% $(\text{Ti}_{0.5}\text{V}_{0.5})_3\text{AlC}_2$ 的 MgH_2 样品的起始放氢温度为 230 °C, 较原始 MgH_2 降低了 60 °C。在 275 °C 下等温放氢, $(\text{Ti}_{0.5}\text{V}_{0.5})_3\text{AlC}_2$ 添加样品的放氢速率可达 $0.35\%\cdot\text{min}^{-1}$, 是原始 MgH_2 样品的 4 倍左右。此外, 完全放氢后的 MgH_2 -10% $(\text{Ti}_{0.5}\text{V}_{0.5})_3\text{AlC}_2$ 样品在 150 °C、5 MPa 氢压下, 可在 60 s 内吸收 4.7% 的氢。计算显示, MgH_2 -10% $(\text{Ti}_{0.5}\text{V}_{0.5})_3\text{AlC}_2$ 样品的表观活化能为 $79.6 \text{ kJ}\cdot\text{mol}^{-1}$, 较原始 MgH_2 ($153.8 \text{ kJ}\cdot\text{mol}^{-1}$) 降低了 48%, 这是 MgH_2 放氢性能得到改善的主要原因。

关键词: 储氢材料; 金属氢化物; MgH_2 ; 催化剂添加; 固溶体 MAX 相

中图分类号: TB333; O614.22; O614.41⁺¹; O614.51⁺¹ 文献标识码: A 文章编号: 1001-4861(2019)01-0101-08

DOI: 10.11862/CJIC.2019.025

Synthesis and Catalytic Effects of Solid-Solution MAX-phase $(\text{Ti}_{0.5}\text{V}_{0.5})_3\text{AlC}_2$ on Hydrogen Storage Performance of MgH_2

ZHANG Xin^{1,2} SHEN Zheng-Yang² JIAN Ni² YAO Jian-Hua¹
GAO Ming-Xia² PAN Hong-Ge² LIU Yong-Feng^{*2}

(*Institute of Laser Advanced Manufacturing, Zhejiang University of Technology, Collaborative Innovation Center of High-end Laser Manufacturing Equipment, Hangzhou 310014, China*)

(*State Key Laboratory of Silicon Materials, School of Materials Science and Engineering, Zhejiang University, Hangzhou 310027, China*)

Abstract: A solid-solution MAX phase $(\text{Ti}_{0.5}\text{V}_{0.5})_3\text{AlC}_2$ was successfully synthesized with a pressureless sintering method, and its catalytic effect on hydrogen storage reaction of MgH_2 was systematically investigated. The solid solution MAX phase $(\text{Ti}_{0.5}\text{V}_{0.5})_3\text{AlC}_2$ exhibited superior catalytic activity, thanks to the synergistic catalysis effect of Ti and V. The on-set dehydrogenation temperature of MgH_2 -10% $(\text{Ti}_{0.5}\text{V}_{0.5})_3\text{AlC}_2$ samples was only 230 °C (mass fraction of $(\text{Ti}_{0.5}\text{V}_{0.5})_3\text{AlC}_2$ was 10%), which was 60 °C lower than that of pristine MgH_2 . The desorption rate of MgH_2 -10% $(\text{Ti}_{0.5}\text{V}_{0.5})_3\text{AlC}_2$ sample at 217 °C was calculated to be $0.35\%\cdot\text{min}^{-1}$, which was 4 times faster than that of the pristine sample. At 150 °C, the dehydrogenated MgH_2 -10% $(\text{Ti}_{0.5}\text{V}_{0.5})_3\text{AlC}_2$ sample absorbs 4.7% of H_2 within 60 s under 5 MPa H_2 . The apparent activation energy of the MgH_2 -10% $(\text{Ti}_{0.5}\text{V}_{0.5})_3\text{AlC}_2$ sample was determined to be $79.6 \text{ kJ}\cdot\text{mol}^{-1}$, representing a 48% reduction in the reaction barrier, compared with pristine MgH_2 ($153.8 \text{ kJ}\cdot\text{mol}^{-1}$). This reasonably explains the significant improvement in dehydrogenation performance.

Keywords: hydrogen storage materials; metal hydride; MgH_2 ; catalyst doping; solid-solution MAX phase

收稿日期: 2018-10-11。收修改稿日期: 2018-11-25。

国家自然科学基金(No.51671172, U1601212)和浙江省杰出青年科学基金(No.LR16E010002)资助项目。

*通信联系人。E-mail: mselyf@zju.edu.cn, Tel: +86-0571-87952615

0 引言

能源危机和环境恶化促使人们加速开发和利用清洁可再生能源^[1]。氢能由于具有清洁无污染、燃料热值高、储量丰富等优点,得到了研究人员的广泛关注。但是,安全、高效和经济的氢储存一直是制约氢能产业化应用的瓶颈。氢通过与材料反应生成氢化物,具有独特的安全性和高的能量密度。因此,开发材料基固态储氢技术至关重要,包括:储氢合金、金属氢化物储氢材料和配位氢化物储氢材料等^[2-33]。

MgH_2 作为一种典型的金属氢化物储氢材料,理论储氢容量高达7.6%,且具有良好的吸-放氢可逆性,是目前最受关注的高容量储氢材料之一^[9-12]。但 MgH_2 的热力学稳定性较高,放氢温度在300℃以上,放氢速率缓慢,距实用化要求尚有较大差距。目前,如何降低 MgH_2 的吸-放氢温度,提高其吸-放氢动力学性能,是储氢材料研究领域的一个重点^[11]。研究表明^[13-32],通过成分调变^[13-15]、形成纳米结构^[16-18]和添加催化剂^[19-32]等,可有效改善 MgH_2 的储氢性能。特别是通过优化催化剂,可以在尽量减小储氢容量损失的基础上,显著改善 MgH_2 的吸-放氢动力学性能。针对 MgH_2 基储氢材料,研究人员已经合成了大量的催化剂,包括:碳材料催化剂^[19-20]、稀土金属基催化剂^[21-23]和过渡金属基催化剂^[24-32]。其中,过渡金属化合物被发现是最有效的催化剂^[24-32]。

Hanada等^[24]报道了 Nb_2O_5 掺杂 MgH_2 样品的放氢产物在室温、1 MPa氢压下,15 s内可吸收约4.5%的氢气。Liang等^[25]对比研究了Ti、V、Mn、Ni和Fe等过渡金属对 MgH_2 的影响,发现这些金属的催化活性顺序为:Ti>V>Fe>Ni>Mn。Cui^[26]等利用多价态Ti基催化剂将 MgH_2 的起始放氢温度降低至175℃;样品在250℃条件下,15 min内可放出5%的氢气。Wang等^[27]研究指出,在金属Ti、 TiF_3 、 TiO_2 和 TiN 中, TiF_3 改性的 MgH_2 样品具有较为优异的吸-放氢性能,样品的起始放氢温度约为173℃,较原始 MgH_2 降低了近100℃。最近,我们课题组将Ti基层状MAX相 Ti_3AlC_2 引入 MgH_2 。结果显示,Ti基MAX相的出现显著降低了 MgH_2 的吸-放氢温度,其中添加7% Ti_3AlC_2 的 MgH_2 材料在300℃下,3min内即可放出5.6%的氢气;放氢后的材料在150℃、60s内即可重新吸氢5.8%^[29]。此外,V基化合物也呈现出较高的催化活性。Malka等^[30]通过添加 VCl_2 将 MgH_2 的起始放氢温度从418℃降低至237℃。

Oelerich等^[31]的研究结果表明, $\text{MgH}_2\text{-V}_2\text{O}_5$ 在300℃下保温7 min,可以放出6.7%的氢气。Wang等^[32]以MIL-74(V)为模板,制备了无定形碳负载的纳米 V_2O_5 复合催化剂,将其与 MgH_2 混合球磨后发现, $\text{MgH}_2\text{-9\%V}_2\text{O}_5@C$ 的起始放氢温度为215℃,较原始 MgH_2 降低了60℃,在275℃时保温20 min,可放出约6.4%的氢气。更重要的是,Jia等^[33]的研究显示,Ni- VO_x 共催化的 MgH_2 在300℃、10 min可以放出6.5%的氢。放氢样品在150℃、2.03 MPa的条件下,吸氢量可达6.2%,预示着多元催化剂具有更为优异的催化活性,特别是含有Ti、V等过渡金属元素的化合物。

固溶体MAX相是一类三元金属碳化物或氮化物材料,能够同时包含多种过渡金属元素,且化学稳定性高,具有独特的纳米层状结构,易于球磨分散^[29,34],因此有希望在催化 MgH_2 储氢材料吸-放氢方面提供更高的活性。基于上述思路,我们利用无压烧结法制备了Ti和V二元固溶体MAX相($\text{Ti}_{0.5}\text{V}_{0.5}\text{AlC}_2$),系统研究了其添加对 MgH_2 吸-放氢反应性能的影响。结果显示,添加质量分数10%($\text{Ti}_{0.5}\text{V}_{0.5}\text{AlC}_2$)的 MgH_2 样品可逆储氢容量为6.9%,起始放氢温度为230℃,较原始 MgH_2 降低了60℃;放氢样品在室温即可开始吸氢,在150℃、5 MPa氢压条件下,60 s内可吸收4.7%的氢气,吸氢速率较原始 MgH_2 显著提升。结构表征和热力学、动力学性能分析发现,固溶体MAX相在 MgH_2 放氢过程中保持稳定,其主要通过降低反应动力学能垒降低吸-放氢反应温度。

1 实验部分

1.1 样品制备

Ti粉和V粉(纯度99%)购于阿拉丁,Al粉(纯度99%)和C粉(纯度99.8%)购于Alfa Aesar。固溶体MAX相催化剂的合成采用无压烧结法,具体过程为:按照物质的量之比 $n_{\text{Ti}}:n_{\text{V}}:n_{\text{Al}}:n_{\text{C}}=1.5:1.5:1.7:2$ 的配比,称取10 g的Ti粉、V粉、Al粉和C粉,装入球磨罐,以300 r·min⁻¹转速球磨混合12 h,球料比为10:1。原料混合均匀后,称取一定量的混合粉末装入氧化铝坩埚中,将装有样品的坩埚在井式气密石墨炉中(Ar气氛),以10℃·min⁻¹的升温速率加热至1450℃,保温2 h烧结。然后随炉冷却,得到致密块体样品,将其机械研磨成粉末,即得固溶体MAX相催化剂。

实验用 MgH_2 由Mg粉(Macklin,纯度99%)在340℃、2 MPa氢压下经20 h保温氢化制得。将制备得到的MAX相 $(\text{Ti}_{0.5}\text{V}_{0.5})_3\text{AlC}_2$ 与 MgH_2 按照一定配比,在5 MPa氢压下,以500 r·min⁻¹转速混合球磨24 h,获得 $\text{MgH}_2-x\%(\text{Ti}_{0.5}\text{V}_{0.5})_3\text{AlC}_2$ (x%为质量分数,x=0,5,7,10,15)样品,球料比为100:1。实验中,为防止空气中水分和氧气对样品的污染,涉及 MgH_2 样品的保存、取样和装样等操作均在氩气氛手套箱(德国MBRAUN)中进行,其 H_2O 和 O_2 浓度保持在 $1.0 \times 10^{-6} (\text{V/V})$ 以下。

1.2 成分、结构和形貌表征

材料的物相组成和晶型结构分析在X射线粉末衍射仪(XRD,MiniFlex 600 Rigaku,Rigaku)上进行,采用 $\text{Cu K}\alpha$ (40 kV,40 mA)为辐射源($\lambda=0.154 \text{ nm}$),数据采集在室温进行,扫描范围为 $10^\circ\text{--}90^\circ(2\theta)$ 。

材料的微观形貌和粒径尺寸观察在扫描电子显微镜(SEM,S4800,Hitachi)上进行,仪器加速电压为30 kV,样品室真空度为 $7 \times 10^{-4} \text{ Pa}$;Mg、Ti、V和Al元素分布采用能量色散X射线谱仪(EDS)进行分析。测试前,在充有氩气的手套箱中将粉末样品分散在导电碳胶上,然后在高纯氩气氛保护下快速转移至测试仪器内。

1.3 吸-放氢性能测试

样品的吸-放氢性能测试在实验室自行搭建的Sieverts测试系统上进行,测试样品量约为60 mg。放氢测试时,先将测试系统抽至真空(约1.33 Pa),然后进行测试。其中,随温放氢试验的升温速率为 $2 \text{ }^\circ\text{C} \cdot \text{min}^{-1}$;等温放氢测试时,以 $10 \text{ }^\circ\text{C} \cdot \text{min}^{-1}$ 的升温速率将样品快速加热至目标温度,然后进行保温。吸氢测试时,先将测试系统抽至真空后,充入5

MPa高纯氢气。随温吸氢测试的升温速率为 $1 \text{ }^\circ\text{C} \cdot \text{min}^{-1}$;在等温吸氢测试时,为避免 MgH_2 在升至目标温度前就开始吸氢,首先将样品在真空下快速升温至目标温度后,再充入5 MPa高纯氢气进行测试。采用程序升温脱附系统(temperature-programmed-desorption,TPD)对样品的放氢行为进行定性测试,测试样品量约为40 mg。测试温度范围是室温至400℃,升温速率 $2 \text{ }^\circ\text{C} \cdot \text{min}^{-1}$,测试载气为高纯氩气。样品放氢过程的热效应在Netzsch DSC 200 F3仪器上进行表征,该仪器放置在氩气气氛手套箱内,测试样品量为1~2 mg,装样坩埚为氧化铝坩埚,测试温度范围为室温至400℃,升温速率 $2 \text{ }^\circ\text{C} \cdot \text{min}^{-1}$ 。

2 结果与讨论

2.1 MAX相 $(\text{Ti}_{0.5}\text{V}_{0.5})_3\text{AlC}_2$ 的成分、结构和形貌表征

首先对烧结制备得到的 $(\text{Ti}_{0.5}\text{V}_{0.5})_3\text{AlC}_2$ 样品进行XRD分析。图1a所示为1450℃下烧结样品的XRD图。明显地,烧结样品的XRD衍射峰与文献报道的固溶MAX相 $(\text{Ti}_{0.5}\text{V}_{0.5})_3\text{AlC}_2$ 基本一致^[34],相较于 Ti_3AlC_2 ,衍射峰位置明显向高角度偏移,说明通过烧结物质的量之比为1.5:1.5:1.7:2的Ti-V-Al-C混合物,可以制备得到MAX相 $(\text{Ti}_{0.5}\text{V}_{0.5})_3\text{AlC}_2$ 。样品的XRD衍射峰强度较高,说明其结晶性较好。此外,在 $2\theta=25.4^\circ$ 和 52.6° 处,也可以分别观察到 TiVALC 和 Ti_3AlC_2 的衍射峰,但衍射峰的强度非常微弱,说明其含量较少。图1b是1450℃下制备得到的 $(\text{Ti}_{0.5}\text{V}_{0.5})_3\text{AlC}_2$ 样品研磨后的SEM照片。由图可见,研磨后 $(\text{Ti}_{0.5}\text{V}_{0.5})_3\text{AlC}_2$ 样品的颗粒尺寸约为20 μm,呈现出明显的层状结构。已有的研究表明,

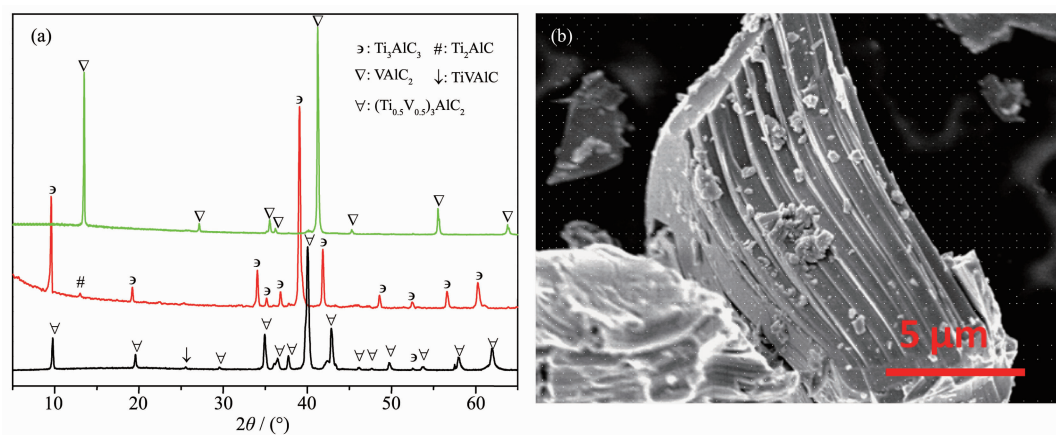


图1 $(\text{Ti}_{0.5}\text{V}_{0.5})_3\text{AlC}_2$ 的XRD图(a)及SEM照片(b)
Fig.1 XRD pattern (a) and SEM image (b) of $(\text{Ti}_{0.5}\text{V}_{0.5})_3\text{AlC}_2$

$(\text{Ti}_{0.5}\text{V}_{0.5})_3\text{AlC}_2$ 具有六方层状结构。该结构中金属 Ti 原子、V 原子与 C 原子之间以强的共价键结合, 与 Al 原子层之间以类似范德华力的弱键结合。这种特殊的结构不仅赋予了 MAX 相材料较高的弹性模量、耐磨性与自润滑性, 也使其在很多催化反应中表现出较高的活性^[28-29,34]。

2.2 $\text{MgH}_2\text{-}x\%(\text{Ti}_{0.5}\text{V}_{0.5})_3\text{AlC}_2$ 体系吸-放氢性能

将所制备 MAX 相 $(\text{Ti}_{0.5}\text{V}_{0.5})_3\text{AlC}_2$ 与 MgH_2 按一定比例进行混合球磨, 制备得到 $(\text{Ti}_{0.5}\text{V}_{0.5})_3\text{AlC}_2$ 催化剂掺杂的 MgH_2 体系, 用以表征 MAX 相 $(\text{Ti}_{0.5}\text{V}_{0.5})_3\text{AlC}_2$ 的催化活性。这里, 为了解 MAX 相 $(\text{Ti}_{0.5}\text{V}_{0.5})_3\text{AlC}_2$ 是否具有储氢活性, 我们也将其在 5 MPa 氢压下球磨 24 h。图 2a 为自制的 MgH_2 的 XRD 图和 SEM 照片。由图可知, 实验室制备的 MgH_2 的衍射图与 β 相 MgH_2 吻合较好, 且峰型尖锐, 说明制得了结晶性较好的 β 相 MgH_2 。SEM 照片显示, 所用 MgH_2 的颗粒尺寸在 0.5~2 μm 。图 2b 为制备的 $(\text{Ti}_{0.5}\text{V}_{0.5})_3\text{AlC}_2$ 和 $\text{MgH}_2\text{-}x\%(\text{Ti}_{0.5}\text{V}_{0.5})_3\text{AlC}_2$ ($x=0, 5, 7, 10$ 和 15) 样品的体积放氢曲线。由图可知, 氢压条件下球磨 MAX 相 $(\text{Ti}_{0.5}\text{V}_{0.5})_3\text{AlC}_2$ 没有氢气放出, 但 $(\text{Ti}_{0.5}\text{V}_{0.5})_3\text{AlC}_2$ 的添加可以明显改善 MgH_2 的放氢性能。为了便于比较, 表

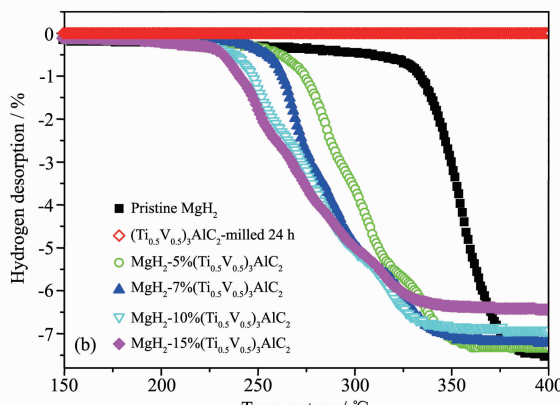
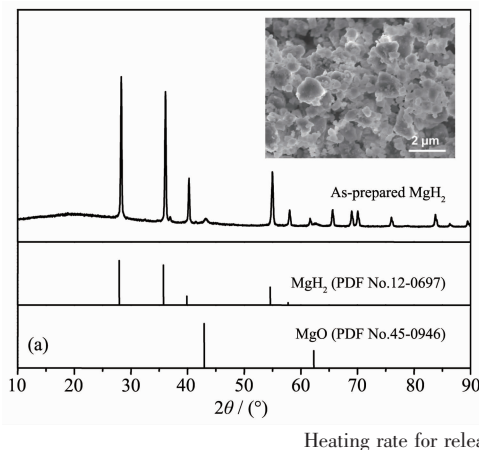


图 2 (a) 原始 MgH_2 的 XRD 图和 SEM 照片(插图); (b) $\text{MgH}_2\text{-}x\%(\text{Ti}_{0.5}\text{V}_{0.5})_3\text{AlC}_2$ 样品的体积放氢曲线

Fig.2 (a) XRD pattern and SEM image (Inset) of pristine MgH_2 ; (b) Volumetric release curves of $\text{MgH}_2\text{-}x\%(\text{Ti}_{0.5}\text{V}_{0.5})_3\text{AlC}_2$

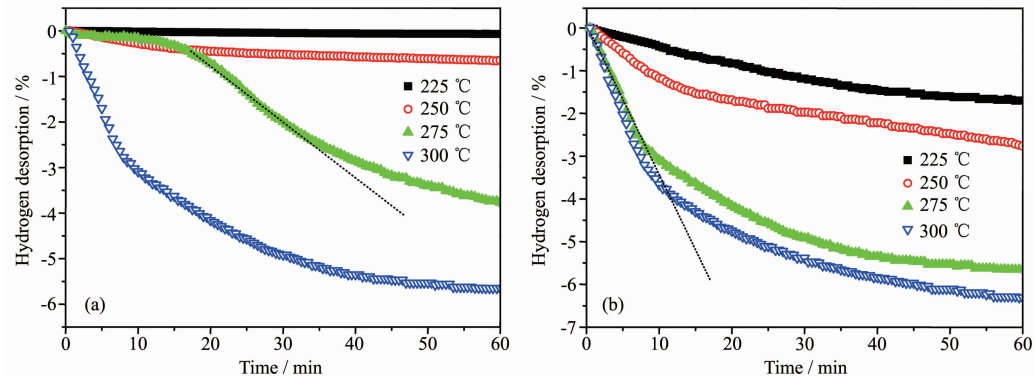
表 1 $\text{MgH}_2\text{-}x\%(\text{Ti}_{0.5}\text{V}_{0.5})_3\text{AlC}_2$ 样品的体积放氢性能数据

Table 1 Volumetric release properties of $\text{MgH}_2\text{-}x\%(\text{Ti}_{0.5}\text{V}_{0.5})_3\text{AlC}_2$

Sample	Starting dehydrogenation temperature / °C	Ending dehydrogenation temperature / °C	Dehydrogenation amount / %
Pristine MgH_2	290	400	7.5
$\text{MgH}_2\text{-}5\%(\text{Ti}_{0.5}\text{V}_{0.5})_3\text{AlC}_2$	255	360	7.3
$\text{MgH}_2\text{-}7\%(\text{Ti}_{0.5}\text{V}_{0.5})_3\text{AlC}_2$	244	357	7.2
$\text{MgH}_2\text{-}10\%(\text{Ti}_{0.5}\text{V}_{0.5})_3\text{AlC}_2$	230	350	6.9
$\text{MgH}_2\text{-}15\%(\text{Ti}_{0.5}\text{V}_{0.5})_3\text{AlC}_2$	225	346	6.4

1 列出了测试样品的起始放氢温度、结束放氢温度和放氢量。可以看出, 原始 MgH_2 球磨后的起始放氢温度为 290 °C, 完全放氢需加热至 400 °C, 总放氢量约为 7.5%, 接近理论容量(7.6%)。当添加 5% 的 $(\text{Ti}_{0.5}\text{V}_{0.5})_3\text{AlC}_2$ 时, 样品的起始放氢温度降低到 255 °C, 较原始 MgH_2 降低了 45 °C。随着催化剂添加量的增加, 样品的放氢温度也逐渐降低, 但由于 $(\text{Ti}_{0.5}\text{V}_{0.5})_3\text{AlC}_2$ 催化剂没有储氢活性, 因此导致样品的有效放氢量逐渐减少。当 $(\text{Ti}_{0.5}\text{V}_{0.5})_3\text{AlC}_2$ 的添加量增加至 10% 时, 样品的起始放氢温度约为 230 °C, 较添加 5% $(\text{Ti}_{0.5}\text{V}_{0.5})_3\text{AlC}_2$ 相的样品进一步降低了 15 °C。随温加热至 350 °C 时, 样品可实现完全放氢, 总放氢量在 6.9% 左右。进一步增加 $(\text{Ti}_{0.5}\text{V}_{0.5})_3\text{AlC}_2$ 的添加量至 15% 时, 样品的放氢起始温度仅有 5 °C 降低, 放氢结束温度基本保持不变, 但放氢量较添加 10% $(\text{Ti}_{0.5}\text{V}_{0.5})_3\text{AlC}_2$ 的样品进一步减少了 0.5%, 总放氢量下降至 6.4%。综合考虑体系的有效储氢容量和放氢温度, 添加 10% $(\text{Ti}_{0.5}\text{V}_{0.5})_3\text{AlC}_2$ 样品具有较好的综合性能。

图 3 比较了原始 MgH_2 和 $\text{MgH}_2\text{-}10\%(\text{Ti}_{0.5}\text{V}_{0.5})_3\text{AlC}_2$ 样品的等温放氢曲线。从图中可以看出, 添加

图3 原始 MgH_2 (a)和 MgH_2 -10% $(\text{Ti}_{0.5}\text{V}_{0.5})_3\text{AlC}_2$ 样品 (b)的等温放氢曲线Fig.3 Isothermal dehydrogenation curves of pristine MgH_2 (a) and MgH_2 -10% $(\text{Ti}_{0.5}\text{V}_{0.5})_3\text{AlC}_2$ (b)

$(\text{Ti}_{0.5}\text{V}_{0.5})_3\text{AlC}_2$ 后, MgH_2 的放氢速率显著加快。在275 °C时,添加 $(\text{Ti}_{0.5}\text{V}_{0.5})_3\text{AlC}_2$ 样品在10 min内的放氢量即可达到3.1%,而在相同条件下,原始 MgH_2 样品的放氢量不足1%。通过分析等温放氢曲线的斜率可知,添加 $(\text{Ti}_{0.5}\text{V}_{0.5})_3\text{AlC}_2$ 的样品在275 °C下的放氢速率约为 $0.35\% \cdot \text{min}^{-1}$,接近原始 MgH_2 的4倍($0.09\% \cdot \text{min}^{-1}$)。即使温度降至225 °C,添加 $(\text{Ti}_{0.5}\text{V}_{0.5})_3\text{AlC}_2$ 样品在60 min内也可放出1.7%的氢,而原始 MgH_2 样品在相同的条件下基本不放氢。

为了研究添加 $(\text{Ti}_{0.5}\text{V}_{0.5})_3\text{AlC}_2$ 对 MgH_2 样品吸氢性能的影响,将原始 MgH_2 和 MgH_2 -10% $(\text{Ti}_{0.5}\text{V}_{0.5})_3\text{C}_2$ 样品的放氢产物在5 MPa氢压下进行了随温吸氢性能测试,测试结果如图4a所示。由图可知,原始

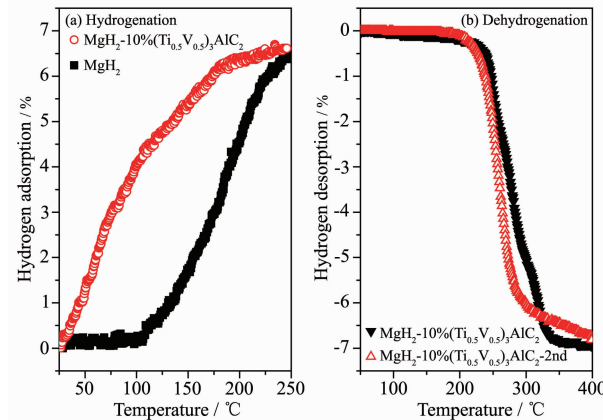
MgH_2 样品的起始吸氢温度为110 °C,加热至250 °C时,吸氢量可达6%。而添加 $(\text{Ti}_{0.5}\text{V}_{0.5})_3\text{AlC}_2$ 后,体系的吸氢温度大幅度降低,在室温下即可开始吸氢。加热至100 °C时,添加 $(\text{Ti}_{0.5}\text{V}_{0.5})_3\text{AlC}_2$ 的样品的吸氢量可以达到3.4%。进一步升高温度至250 °C时,样品的吸氢量增至6.5%。图4b比较了 MgH_2 -10% $(\text{Ti}_{0.5}\text{V}_{0.5})_3\text{C}_2$ 样品的首次放氢和二次放氢曲线。可以发现,经过一个循环后,样品的放氢温度略微降低,放氢行为基本不变,说明 $(\text{Ti}_{0.5}\text{V}_{0.5})_3\text{AlC}_2$ 具有较为稳定的催化活性。

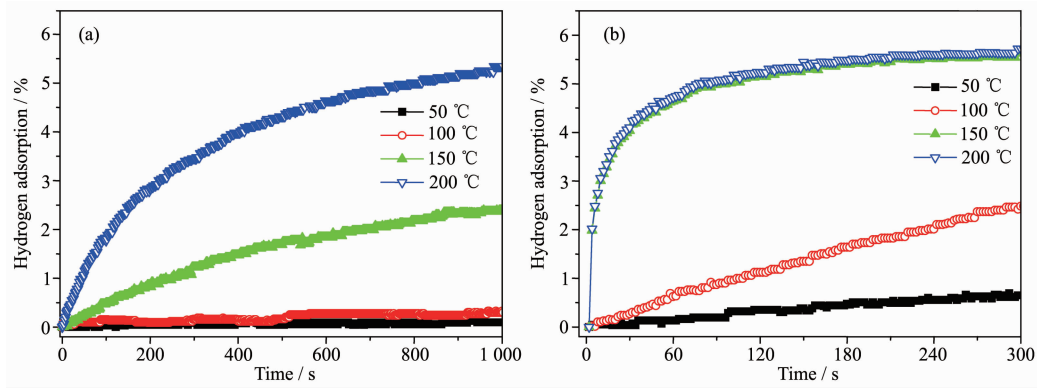
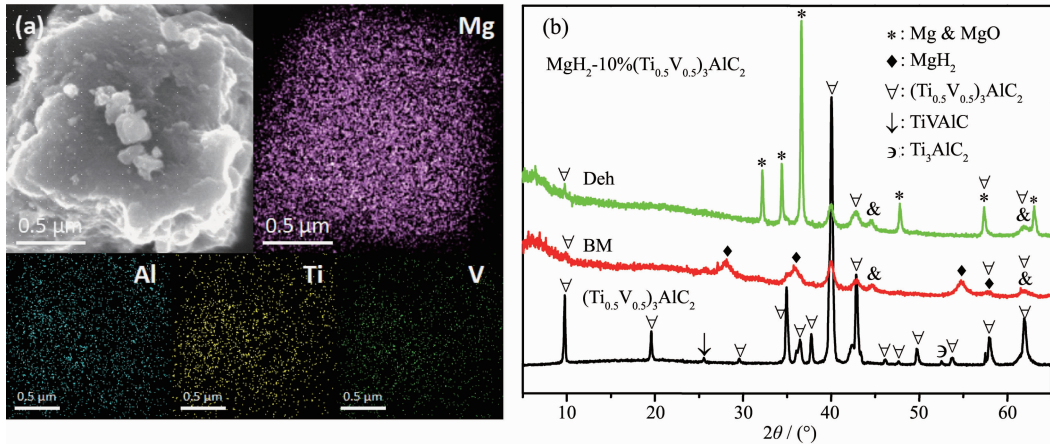
图5所示为原始 MgH_2 和添加10% $(\text{Ti}_{0.5}\text{V}_{0.5})_3\text{C}_2$ 样品的等温吸氢曲线(50、100、150和200 °C)。结果显示,添加 $(\text{Ti}_{0.5}\text{V}_{0.5})_3\text{C}_2$ 的样品在150 °C和5 MPa氢压的条件下即可快速吸氢,其在60 s内的吸氢量约为4.7%;而在相同的温度和氢压下,原始 MgH_2 放氢产物经过1 000 s的吸氢量仅为2.4%。即使在较低温度时, MgH_2 -10% $(\text{Ti}_{0.5}\text{V}_{0.5})_3\text{C}_2$ 样品也呈现出良好的吸氢反应动力学性能。例如:在100 °C条件下,添加 $(\text{Ti}_{0.5}\text{V}_{0.5})_3\text{AlC}_2$ 的样品在300 s内可以吸收2.4%的氢气;特别是在50 °C时,也能观察到吸氢,而原始 MgH_2 在100 °C以下基本不吸氢。由此可见,添加 $(\text{Ti}_{0.5}\text{V}_{0.5})_3\text{C}_2$ 催化剂也可以降低 MgH_2 吸氢反应的温度,显著改善其吸氢性能。

2.3 $(\text{Ti}_{0.5}\text{V}_{0.5})_3\text{AlC}_2$ 催化剂在吸-放氢过程的变化

为了表征固溶MAX相在 MgH_2 基体上的分布情况,对添加 $(\text{Ti}_{0.5}\text{V}_{0.5})_3\text{AlC}_2$ 的样品进行了EDS面扫描分析,结果如图6a所示。可以发现,样品经过球磨后,Ti、V、Al元素均匀地分布在 MgH_2 基体中,没有出现明显地偏聚现象,表明 $(\text{Ti}_{0.5}\text{V}_{0.5})_3\text{AlC}_2$ 在与 MgH_2 球磨过程中可以充分混合,均匀分散在 MgH_2 基体中。

随后,对比分析了 MgH_2 -10% $(\text{Ti}_{0.5}\text{V}_{0.5})_3\text{C}_2$ 样品球

图4 原始 MgH_2 和 MgH_2 -10% $(\text{Ti}_{0.5}\text{V}_{0.5})_3\text{AlC}_2$ 样品的随温吸氢曲线(a)和 MgH_2 -10% $(\text{Ti}_{0.5}\text{V}_{0.5})_3\text{AlC}_2$ 样品的前两个循环的放氢曲线(b)Fig.4 Non-isothermal hydrogenation curves of dehydrogenated pristine MgH_2 and MgH_2 -10% $(\text{Ti}_{0.5}\text{V}_{0.5})_3\text{AlC}_2$ (a) and dehydrogenation curves of the MgH_2 -10% $(\text{Ti}_{0.5}\text{V}_{0.5})_3\text{AlC}_2$ sample at first two cycles (b)

图 5 原始 MgH₂ (a) 和 MgH₂-10% (Ti_{0.5}V_{0.5})₃AlC₂ (b) 材料的等温吸氢曲线Fig.5 Isothermal hydrogenation curves of the dehydrogenated pristine MgH₂ (a) and MgH₂-10% (Ti_{0.5}V_{0.5})₃AlC₂ sample (b)图 6 (a) MgH₂-10% (Ti_{0.5}V_{0.5})₃AlC₂ 样品的 SEM 照片和相应的 Mg、Ti、V、Al 元素分布图; (b) (Ti_{0.5}V_{0.5})₃AlC₂ 催化剂及 MgH₂-10% (Ti_{0.5}V_{0.5})₃AlC₂ 样品放氢前后的 XRD 图Fig.6 (a) SEM images and EDS mappings of Mg, Ti, V and Al elements of the MgH₂-10% (Ti_{0.5}V_{0.5})₃AlC₂; (b) XRD patterns of (Ti_{0.5}V_{0.5})₃AlC₂, as-milled and dehydrogenated MgH₂-10% (Ti_{0.5}V_{0.5})₃AlC₂ samples

磨和放氢产物的 XRD 结果。如图 6b 所示,球磨样品的 XRD 中能够明显观察到 β -MgH₂ 的特征峰,峰型较宽,这可能与球磨造成 MgH₂ 晶体缺陷较多密切相关。此外,球磨样品的 XRD 图中可以明显观察到 (Ti_{0.5}V_{0.5})₃AlC₂ 的特征峰。当样品加热至 400 °C 完全放氢后,样品中的 MgH₂ 完全分解为 Mg。有趣的是,(Ti_{0.5}V_{0.5})₃AlC₂ 的特征峰位置及强度保持不变,说明放氢前后其没有发生明显变化。由此可知,(Ti_{0.5}V_{0.5})₃AlC₂ 在 MgH₂ 放氢过程中能够稳定存在,主要发挥催化剂的作用。

为了阐明添加固溶 MAX 相对 MgH₂ 放氢动力学性能的影响,采用 Kissinger 法^[35]计算了 MgH₂-10% (Ti_{0.5}V_{0.5})₃AlC₂ 样品的放氢反应表观活化能(E_a),结果如图 7a 所示。结果表明,球磨后原始 MgH₂ 的放氢活化能约为 153.8 kJ·mol⁻¹,与文献中报道的结果相近^[36-37]。添加固溶体(Ti_{0.5}V_{0.5})₃AlC₂ 后,MgH₂ 的放

氢活化能 E_a 降低至 79.6 kJ·mol⁻¹,较原始 MgH₂ 样品降低了约 48%。表明添加 Ti、V 基固溶 MAX 相能够显著降低 MgH₂ 的放氢反应能垒,这是其放氢温度显著降低的关键原因。

图 7b 是原始 MgH₂ 和 MgH₂-10% (Ti_{0.5}V_{0.5})₃AlC₂ 样品的放氢 DSC 曲线。由图可知,样品的放氢过程伴随着吸热现象,暗示着样品的放氢过程是热力学可逆。此外,通过积分样品吸热峰的面积,可以计算得到样品的放氢反应焓变(H)。计算得到的 MgH₂-10% (Ti_{0.5}V_{0.5})₃AlC₂ 样品的放氢反应焓变为 72.2 kJ·mol⁻¹,与原始 MgH₂ 球磨后样品的放氢反应焓变非常接近(71.5 kJ·mol⁻¹),表明添加 (Ti_{0.5}V_{0.5})₃AlC₂ 不会影响 MgH₂ 的吸-放氢反应热力学性能,只起到催化剂的作用。

众所周知,过渡金属 Ti 和 V 的电负性介于 Mg 与 H 之间,其同时存在可以降低 Mg-H 键强度,有

利于 MgH_2 的吸-放氢反应^[36]。为了进一步理解 $(\text{Ti}_{0.5}\text{V}_{0.5})_3\text{AlC}_2$ 的催化活性,我们设计和制备了 Ti_3AlC_2 和 V_2AlC 及其单独添加的 MgH_2 -10% Ti_3AlC_2 和 MgH_2 -10% V_2AlC 样品,将它们与 MgH_2 -10% $(\text{Ti}_{0.5}\text{V}_{0.5})_3\text{AlC}_2$ 样品的放氢性能进行对比。XRD表征显示,所制备 Ti_3AlC_2 和 V_2AlC (图1)与文献中报道的数据基本一致^[29,34]。由图8对比发现,($\text{Ti}_{0.5}\text{V}_{0.5})_3\text{AlC}_2$ 、 Ti_3AlC_2 和 V_2AlC 添加均可降低 MgH_2 的放氢温度。其中,添加 V_2AlC 后 MgH_2 的起始放氢温度降低至260 °C,峰值温度降低至290 °C,而添加 Ti_3AlC_2 的样品起始放氢温度为230 °C,峰值温度

为265 °C。这一结果表明Ti元素对 MgH_2 的催化活性要优于V元素,这主要是因为Ti的电负性(1.54)较V的(1.63)更低,对H的吸附作用更强,有利于 MgH_2 中Mg-H键的解离^[26]。而 MgH_2 -10% $(\text{Ti}_{0.5}\text{V}_{0.5})_3\text{AlC}_2$ 样品的放氢峰值温度为252 °C,均低于 Ti_3AlC_2 和 V_2AlC 添加的体系。因此,我们认为二元固溶体MAX相 $(\text{Ti}_{0.5}\text{V}_{0.5})_3\text{AlC}_2$ 对 MgH_2 放氢反应的催化活性要高于单一过渡金属MAX相(Ti_3AlC_2 、 V_2AlC),这主要是因为固溶体MAX相 $(\text{Ti}_{0.5}\text{V}_{0.5})_3\text{AlC}_2$ 中Ti和V元素的共存可能发挥协同催化效应,有利于 MgH_2 的吸-放氢反应的进行。

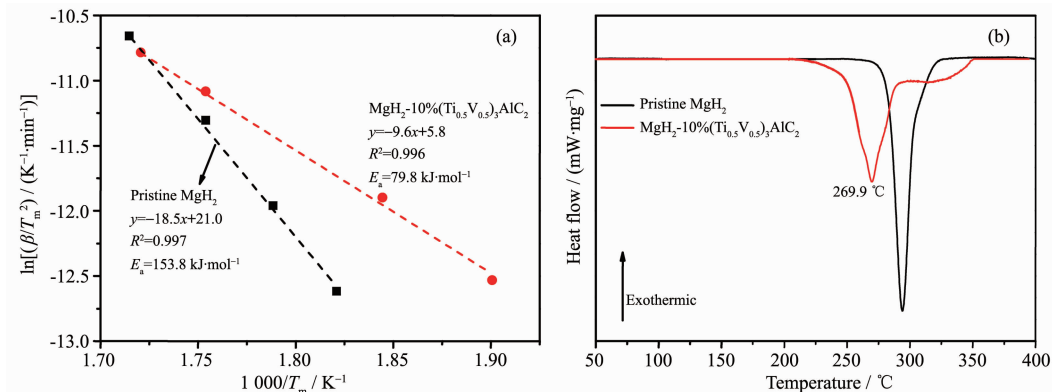


图7 原始 MgH_2 和 MgH_2 -10% $(\text{Ti}_{0.5}\text{V}_{0.5})_3\text{AlC}_2$ 样品的Kissinger拟合直线(a)和DSC曲线(b)

Fig.7 Kissinger's plots (a) and DSC curves (b) of the pristine MgH_2 and MgH_2 -10% $(\text{Ti}_{0.5}\text{V}_{0.5})_3\text{AlC}_2$ samples

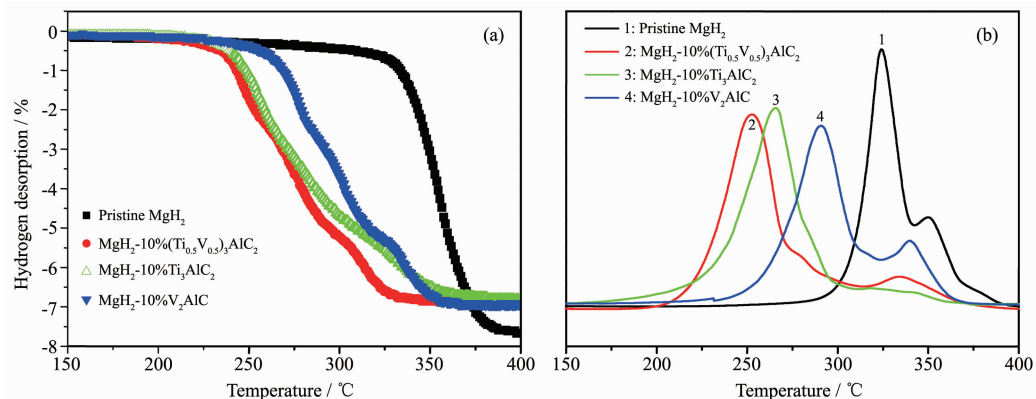


图8 MAX相掺杂 MgH_2 的体积放氢曲线(a)和TPD(b)

Fig.8 Volumetric release curves (a) and TPD (b) of the MAX-phase-doped MgH_2 samples

3 结论

利用无压烧结法成功制备了二元固溶体MAX相 $(\text{Ti}_{0.5}\text{V}_{0.5})_3\text{AlC}_2$,发现其可显著改善 MgH_2 的储氢性能。 MgH_2 -10% $(\text{Ti}_{0.5}\text{V}_{0.5})_3\text{AlC}_2$ 样品的可逆储氢容量为6.9%,起始放氢温度为230 °C,较原始 MgH_2 降低了60 °C。完全放氢后的 MgH_2 -10% $(\text{Ti}_{0.5}\text{V}_{0.5})_3\text{AlC}_2$ 样品在室温下即可开始吸氢,在150 °C、5 MPa氢压条件

下,60 s内吸氢量可达4.7%,吸氢速率较原始 MgH_2 显著提升。采用Kissinger法计算得到 MgH_2 -10% $(\text{Ti}_{0.5}\text{V}_{0.5})_3\text{AlC}_2$ 样品的表观活化能为79.6 $\text{kJ}\cdot\text{mol}^{-1}$,较原始 MgH_2 降低了48%。由EDS和XRD分析可知,球磨后 $(\text{Ti}_{0.5}\text{V}_{0.5})_3\text{AlC}_2$ 均匀分布在 MgH_2 基体上,其在 MgH_2 放氢过程中保持基本稳定,只起到催化剂的作用。相比单一过渡金属MAX相(Ti_3AlC_2 或 V_2AlC),固溶体MAX相 $(\text{Ti}_{0.5}\text{V}_{0.5})_3\text{AlC}_2$ 中Ti和V元

素的同时存在可能具有协同催化效应,使其表现出更好的催化效果。

参考文献:

- [1] Chu S, Majumdar A. *Nature*, **2012**,*488*(17):294-303
- [2] SHANGGUAN Wen-Feng(上官文峰). *Chinese J. Inorg. Chem.* (无机化学学报), **2001**,*17*(9):619-626
- [3] Zhang X B, Chai Y J, Yin W Y, et al. *J. Rare Earths*, **2003**,*21*(S1):162-164
- [4] ZHANG Xin-Bo(张新波), ZHAO Min-Shou(赵敏寿). *Chem. J. Chinese Universities*(高等学校化学学报), **2003**,*24*(9):1680-1682
- [5] Zhang X B, Sun Z D, Yin W Y, et al. *ChemPhysChem*, **2005**, *6*(3):520-525
- [6] Zhang X B, Sun Z D, Yin W Y, et al. *Electrochim. Acta*, **2005**,*50*(9):1957-1964
- [7] Zhang X B, Sun Z D, Yin W Y, et al. *Electrochim. Acta*, **2005**,*50*(14):2911-2918
- [8] QIAO Yu-Qing(乔玉卿), ZHAO Min-Shou(赵敏寿), ZHU Xin-Jian(朱新坚), et al. *Journal of Functional Materials*(功能材料), **2005**,*36*(12):1875-1878
- [9] LIU Yang(刘洋), LI Yuan-Yuan(李媛媛), PENG Dan-Dan(彭丹丹), et al. *Chinese J. Inorg. Chem.*(无机化学学报), **2017**,*33*(12):1875-1878
- [10] Liu Y F, Yang Y X, Gao M X, et al. *Chem. Rec.*, **2016**,*16*(1):189-204
- [11] Crivello J C, Dam B, Denys R V, et al. *Appl. Phys. A*, **2016**, *122*(2):97-117
- [12] Jain I P, Lal C. *Int. J. Hydrogen Energy*, **2010**,*35*(10):5133-5144
- [13] Puszkiel J A, Riglos M V C, Ramallo-López J M, et al. *J. Mater. Chem. A*, **2017**,*5*(25):12922-12933
- [14] Puszkiel J A, Larochette P A, Gennari F C. *J. Power Sources*, **2009**,*186*(1):185-193
- [15] Vajo J J. *J. Phys. Chem. B*, **2004**,*108*(37):13977-13983
- [16] Xia G L, Tan Y, Chen X, et al. *Adv. Mater.*, **2015**,*27*(39):5981-5988
- [17] Peng D D, Ding Z M, Zhang L, et al. *Int. J. Hydrogen Energy*, **2018**,*43*(7):3731-3740
- [18] Au Y S, Obbink M K, Srinivasan S, et al. *Adv. Funct. Mater.*, **2014**,*24*(23):3604-3611
- [19] Rather S, Taimoor A A, Muhammad A, et al. *Mater. Res. Bull.*, **2016**,*77*:23-28
- [20] Xie X B, Chen M, Liu P, et al. *J. Power Sources*, **2017**,*371*(15):112-118
- [21] Mustafa N S, Ismail M. *J. Alloys Compd.*, **2017**,*695*(25):2532-2538
- [22] Chakrabarti S, Biswas K. *Int. J. Hydrogen Energy*, **2017**,*42*(2):1012-1017
- [23] Soni P K, Bhatnagar A, Shaz M A, et al. *Int. J. Hydrogen Energy*, **2017**,*42*(31):20026-20035
- [24] Hanada N, Ichikawa T, Hino S, et al. *J. Alloys Compd.*, **2006**,*420*(1/2):46-49
- [25] Liang G, Huot J, Boily S, et al. *J. Alloys Compd.*, **1999**,*292*(1/2):247-252
- [26] Cui J, Wang H, Liu J W, et al. *J. Mater. Chem. A*, **2013**,*1*(18):5603-5611
- [27] Wang Y, Zhang Q, Wang Y, et al. *J. Alloys Compd.*, **2015**, *645*(1):S509-S512
- [28] Liu Y F, Du H F, Zhang X, et al. *Chem. Commun.*, **2016**,*52*(4):705-708
- [29] Wang K, Du H, Wang Z, et al. *Int. J. Hydrogen Energy*, **2017**,*42*(7):4244-4251
- [30] Malka I E, Czujko T, Bystrzycki J. *Int. J. Hydrogen Energy*, **2010**,*35*(4):1706-1712
- [31] Oelerich W, Klassen T, Bormann R. *J. Alloys Compd.*, **2001**, *315*(1/2):237-242
- [32] Wang Z Y, Ren Z H, Jian N, et al. *J. Mater. Chem. A*, **2018**,*6*(33):16177-16185
- [33] Jia Y, Cheng L N, Pan N, et al. *Adv. Energy Mater.*, **2011**,*1*(3):387-393
- [34] Naguib M, Bentzel G W, Shah J, et al. *Mater. Res. Lett.*, **2014**,*2*(3):233-240
- [35] Kissinger H E. *Anal. Chem.*, **1957**,*29*(11):1702-1706
- [36] Huot J, Liang G, Boily S, et al. *J. Alloys Compd.*, **1999**,*293*(295):495-500
- [37] Chen G, Zhang Y, Chen J, et al. *Nanotechnology*, **2018**,*29*(26):265705